

01

## Применение метода Кирхгофа к задаче дифракции волн на ленте при малых углах скольжения

© П.Н. Дагуров, А.В. Дмитриев

Отдел физических проблем Бурятского научного центра СО РАН,  
Улан-Удэ  
E-mail: dpn@ofpsrv.bsc.buryatia.ru

Поступило в Редакцию 4 мая 2005 г.

В рамках метода Френеля–Кирхгофа теоретически и экспериментально исследован новый подход к задаче дифракции электромагнитных волн на проводящей ленте при малых углах скольжения. Показано, что экспериментальные данные согласуются с теоретическими зависимостями.

Задача о дифракции волн на бесконечной ленте (полосе) или дополнительная к ней задача о дифракции на щели является классической дифракционной задачей, которой посвящено много работ. Помимо строгих и асимптотических методов решения этой задачи, таких как методы разделения переменных, интегральных уравнений [1–4], краевых волн [5] и геометрической теории дифракции [5], на практике ввиду своей простоты и наглядности находит широкое применение приближенное решение, основанное на методе Кирхгофа или методе физической оптики. При стандартном применении метода Кирхгофа поле за дифрагирующими телами не зависит от поляризации и определяется проекцией тела на поверхность волнового фронта. Дифракционные поля от тел, имеющих различную форму, но одинаковые проекции неразличимы. Отсюда также следует, что волна при скользшем падении не „заметит“ ленту.

В данной работе предлагается новый метод решения задачи дифракции электромагнитных волн на ленте для малых углов скольжения, которые ранее не охватывались теорией Кирхгофа в своем обычном виде. Метод основан на последовательном применении принципа Гюйгенса–Френеля и использовании принципа зеркальных изображений с учетом поляризации волны.

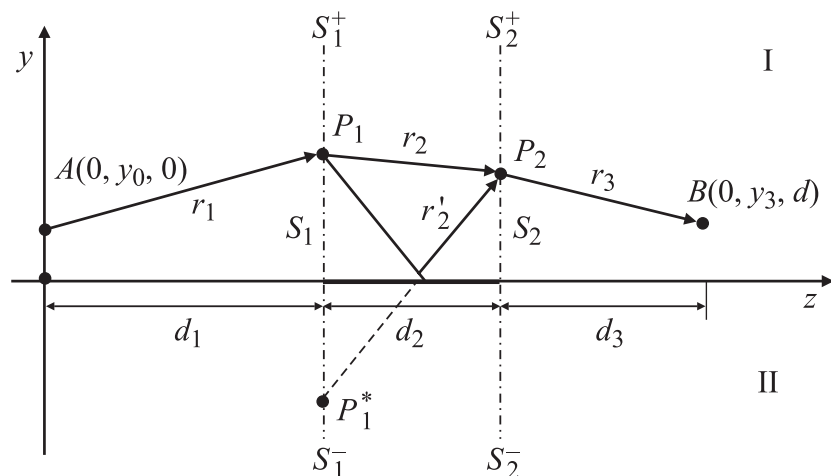


Рис. 1. Геометрия задачи.

Геометрия задачи показана на рис. 1. Между элементарным вибратором  $A$  и точкой наблюдения  $B$  расположена идеально проводящая лента шириной  $a = d_2$ . Лента лежит в плоскости  $y = 0$ , края ленты имеют координаты  $z = d_1$  и  $z = d_1 + d_2$ . Координаты  $y_0$  и  $y_3$  излучателя и приемника удовлетворяют неравенствам  $y_0 \ll d_1$  и  $y_3 \ll d_3$ . Для нахождения поля в точке  $B$  введем плоскости  $S_1$  и  $S_2$ , проходящие через края ленты и имеющие уравнения  $z = d_1$  и  $z = d_1 + d_2$ . Согласно принципу Гюйгенса–Френеля, поле  $U(B)$  в точке  $B$  определяется суммарным воздействием всех гюйгенсовых источников на  $S_2$ . В свою очередь поле  $U(P_2)$  в текущей точке  $P_2$  плоскости  $S_2$  равно сумме полей всех гюйгенсовых источников на плоскости  $S_1$  с учетом влияния ленты. Для учета этого влияния используем принцип зеркального изображения (фактически метод Кирхгофа, так как при рассмотрении отражений пренебрегаем краевыми эффектами), т.е. влияние ленты учтем введением зеркального источника  $P_1^*$ . Поле в текущей точке  $P_1$  в соответствии с приближением Кирхгофа принимаем равным полю источника в свободном пространстве.

Поле в точке  $B$  запишем в виде дифракционного интеграла Рэля–Зоммерфельда:

$$U(B) = -\frac{1}{2\pi} \int_{S_2} U(P_2) \frac{\partial G_2}{\partial n_2} dS_2, \quad (1)$$

где  $k = 2\pi/\lambda$  — волновое число;  $\lambda$  — длина волны;  $n_2$  — внешняя нормаль к плоскости  $S_2$ ;  $G_2 = \exp(ikr_3)/r_3$  — функция Грина.

Под полем  $U$  ввиду малости значений  $y_0$  и  $y_3$  будем приближенно понимать либо компоненту электрического поля  $E_x$  в случае горизонтального вибратора, либо компоненту  $E_y$  для вертикального вибратора.

Последовательно применяя формулу (1), представим поле в точке  $B$  в виде:

$$U(B) = \frac{1}{4\pi^2} \left( \int_{S_1^+} \int_{S_2^+} + \int_{S_1^-} \int_{S_2^-} \right) U(P_1) \frac{\partial G_1}{\partial n_1} \frac{\partial G_2}{\partial n_2} dS_1 dS_2, \quad (2)$$

где  $U(P_1) = \exp(ikr_1)/r_1$  — поле источника в текущей точке  $P_1$  плоскости  $S_1$ ;  $G_1 = \exp(ikr_2)/r_2 + \Phi \exp(ikr'_2)/r'_2$ ,  $S_1^+$ ,  $S_2^+$ ,  $S_1^-$ ,  $S_2^-$  — полуплоскости, расположенные соответственно выше и ниже плоскости  $y = 0$ .

Полагая, что  $kr_1, kr_2, kr_3 \gg 1$ , получим приближенно:

$$U(B) = -\left(\frac{k}{2\pi}\right)^2 \int_{-\infty}^{\infty} \int_{-\infty}^{\infty} dx_1 dx_2 \left[ \left( \int_{-\infty}^0 \int_{-\infty}^0 + \int_0^{\infty} \int_0^{\infty} \right) \times \left( \frac{\exp[ik(r_1 + r_2 + r_3)]}{r_1 r_2 r_3} + \Phi \frac{\exp[ik(r_1 + r'_2 + r_3)]}{r_1 r'_2 r_3} \right) dy_1 dy_2 \right]. \quad (3)$$

Разлагая  $r_1, r_2, r'_2, r_3$  в ряд, ограничиваясь квадратичными членами разложения в показателях экспонент (дифракция Френеля) и полагая в амплитудных множителях  $r_1 \approx d_1, r_2 \approx d_2, r_3 \approx d_3$ , после интегрирования по  $x_1$  и  $x_2$  и преобразований получим:

$$U(B) = \frac{\exp(ikr)}{d} \cdot P(h_1, h_2, -\beta) + \frac{\exp(ikr')}{d} \cdot \Phi \cdot P(h'_1, h'_2, \beta), \quad (4)$$

где

$$r \approx d + (y_0 - y_3)^2/2d, \quad r' \approx d + (y_0 + y_3)^2/2d,$$

$$\beta = \sqrt{d_1 d_3 / [(d_1 + d_2) \cdot (d_2 + d_3)]}, \quad d = \sum_{i=1}^3 d_i;$$

$$h_1 = \frac{y_0(d_2 + d_3) + y_3 d_1}{d} \left[ \frac{\pi(d_1 + d_2)}{\lambda d_1 d_2} \right]^{1/2},$$

$$h_2 = \frac{y_3(d_1 + d_2) + y_0 d_3}{d} \left[ \frac{\pi(d_2 + d_3)}{\lambda d_2 d_3} \right]^{1/2},$$

$$h'_1 = \frac{y_0(d_2 + d_3) - y_3 d_1}{d} \left[ \frac{\pi(d_1 + d_2)}{\lambda d_1 d_2} \right]^{1/2},$$

$$h'_2 = \frac{y_3(d_1 + d_2) - y_0 d_3}{d} \left[ \frac{\pi(d_2 + d_3)}{\lambda d_2 d_3} \right]^{1/2}.$$

$$P(a_1, a_2, \pm\beta) = 1 - F\left(\sqrt{1 - \beta^2} a_1\right) - F\left(\sqrt{1 - \beta^2} a_2\right) + 2 \left[ G\left(a_1 \pm \beta a_2, \sqrt{1 - \beta^2} a_2\right) + G\left(a_2 \pm \beta a_1, \sqrt{1 - \beta^2} a_1\right) \right],$$

$F(x) = \int_0^{\infty} \exp(it^2) dt$  — интеграл Френеля,  $G(x, y) = (y/2\pi) \times$

$\times \int_x^{\infty} \exp[i(t^2 + y^2)] / (t^2 + y^2) dt$  — обобщенный интеграл Френеля [6].

Из анализа формулы (4) следует, например, что в случае скользящего распространения, когда  $y_0 = y_3 = 0$  и соответственно равны нулю параметры  $h_1, h_2, h'_1, h'_2$ :

$$U(B) = \frac{\exp(ikd)}{d} \left\{ \left( \frac{1}{2} + \frac{1}{\pi} \operatorname{arctg} \frac{\beta}{\sqrt{1 - \beta^2}} \right) + \Phi \left( \frac{1}{2} - \frac{1}{\pi} \operatorname{arctg} \frac{\beta}{\sqrt{1 - \beta^2}} \right) \right\}. \quad (5)$$

В случае, когда вектор напряженности электрического поля перпендикулярен плоскости ленты, коэффициент отражения  $\Phi = 1$  и  $U(B) = \exp(ikd)/d$ , т.е. волна не „заметит“ ленту.

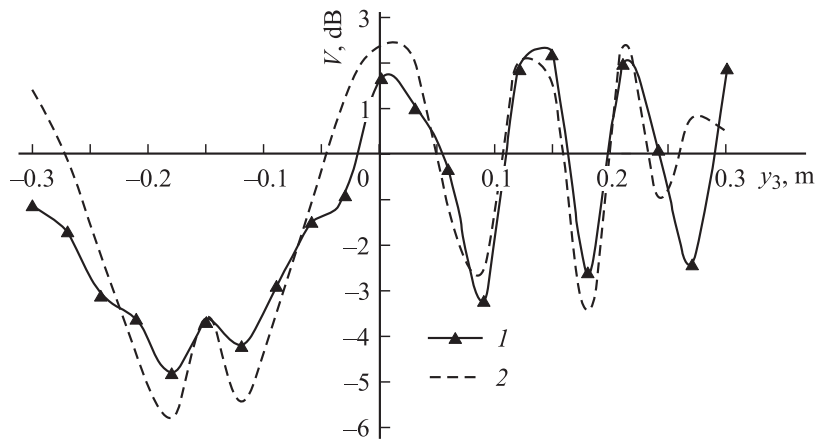


Рис. 2. Сравнение расчетных (2) и экспериментальных (1) данных.

При поляризации волны, параллельной краям ленты,  $\Phi = -1$  и

$$\begin{aligned}
 U(B) &= \frac{\exp(ikd)}{d} \frac{2}{\pi} \operatorname{arctg} \frac{\beta}{\sqrt{1-\beta^2}} = \frac{\exp(ikd)}{d} \frac{2}{\pi} \operatorname{arctg} \sqrt{\frac{d_1 d_3}{d_2 d}} \\
 &= \frac{\exp(ikd)}{d} \left( 1 - \frac{2}{\pi} \operatorname{arctg} \sqrt{\frac{d_2 d}{d_1 d_3}} \right). \quad (6)
 \end{aligned}$$

При  $d_2 = 0$  получим первичное поле  $\exp(ikd)/d$ , т.е. формула (6) правильно описывает поле в отсутствие ленты, хотя вывод формул базировался на предположении, что  $d_2 \gg \lambda$ .

Пусть лента занимает все расстояние между излучателем и приемником. В этом случае  $d_1 = d_3 = 0$ ,  $d_2 = d$ . Тогда из (6) следует, что  $U(B) = 0$ , т.е. и в этом случае выражение (6) адекватно описывает ситуацию.

Анализ формулы (4) показывает, что в случае, когда источник и точка наблюдения не лежат в плоскости ленты при  $d_1 = d_3 = 0$ ,  $d_2 = d$ , поле в точке  $B$  равняется сумме прямой и отраженной от бесконечной плоскости волны при расположении точек излучения и приема выше

или ниже плоскости ленты или равно нулю, когда источник и точка наблюдения находятся по разные стороны от плоскости ленты.

Для экспериментальной проверки изложенной теории были проведены измерения на длине волны 0.03 м. Эксперименты заключались в следующем: над металлической плоской горизонтальной поверхностью вертикально подвешивалась проводящая лента из дюралюминия толщиной  $5 \cdot 10^{-4}$  м таким образом, что ее нижняя сторона длиной  $d_2$  касалась поверхности. Передающей и приемной антенной служили четвертьволновые вертикальные заземленные вибраторы, так что поляризация излучения была параллельна краям ленты и  $\Phi = -1$ . Размеры горизонтальной „зеркальной“ поверхности, экранировавшей нижнее „полупространство“, выбирались достаточно большими для избежания краевых эффектов. При интерпретации результатов эксперимента считалось, что справедлив принцип зеркальных изображений и эксперимент соответствует эксперименту в свободном пространстве с лентой и вибраторами удвоенной длины. В эксперименте длина ленты составляла 1 м, что позволяет не учитывать конечность ленты. Размер горизонтальной поверхности составлял  $1 \times 1$  м.

На рис. 2 приведены экспериментальные зависимости уровня дифракционного поля, нормированного к уровню поля в отсутствие ленты, от изменения координаты приемника  $y_3$ , полученные при  $d_1 = d_3 = 0.42$  м,  $d_2 = 0.063$  м,  $y_3 = 0.15$  м. Здесь же показана расчетная кривая, построенная по формуле (4). Сравнение расчетных и экспериментальных результатов показывает их хорошее согласие, что свидетельствует о работоспособности рассмотренного метода.

## Список литературы

- [1] Хенл Х., Мауэ А., Вестпфаль К. Теория дифракции. М.: Мир, 1964. 428 с.
- [2] Нефедов Е.И., Фиалковский А.Т. Асимптотическая теория дифракции электромагнитных волн на конечных структурах. М.: Наука, 1972. 204 с.
- [3] Хаскинд М.Д., Вайнштейн Л.А. // РЭ. 1964. № 10. С. 1800–1811.
- [4] Эминов С.И. // Письма в ЖТФ. 2003. Т. 29. № 16. С. 80–88.
- [5] Уфимцев П.Я. Метод краевых волн в физической теории дифракции. М.: Сов. радио, 1962. 244 с.
- [6] Боровиков В.А., Кинбер Б.Е. Геометрическая теория дифракции. М.: Связь, 1978. 248 с.